

КРАТКИЕ СООБЩЕНИЯ

УДК 547.854

КРИСТАЛЛИЧЕСКАЯ СТРУКТУРА ЭТИЛ 9-МЕТИЛ-10-ФЕНИЛ-11-ТИОКСО-8-ОКСА-10,12-ДИАЗАТРИЦИКЛО[7.3.1.0^{2,7}]ТРИДЕКА-2(7),3,5-ТРИЕН-13-КАРБОКСИЛАТА

© 2010 А.М. Магеррамов¹, А.В. Курбанов¹, В.Н. Хрусталёв³,
С.С. Годжаева², Э.Н. Гарипов^{2*}, В.М. Фарзалиев², М.А. Аллахвердиев¹

¹Бакинский государственный университет, Баку, Азербайджан

²Институт химии присадок им. акад. А.М. Кулиева Национальной АН Азербайджанской Республики

³Институт элементоорганических соединений РАН, Москва, Россия

Статья поступила 21 марта 2009 г.

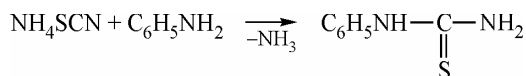
С доработки — 21 апреля 2010 г.

На основе трехкомпонентной конденсации N1-фенилтиокарбамида с салицилальдегидом и с эфиром ацетоуксусной кислоты в присутствии трифтоторуксусной кислоты был проведен продуктивный синтез этил 9-метил-10-фенил-11-тиоксо-8-окса-10,12-диазатрицикло[7.3.1.0^{2,7}]тридека-2(7),3,5-триен-13-карбоксилата I. Методом РСА определена кристаллическая структура I и выявлены конформационные особенности структур.

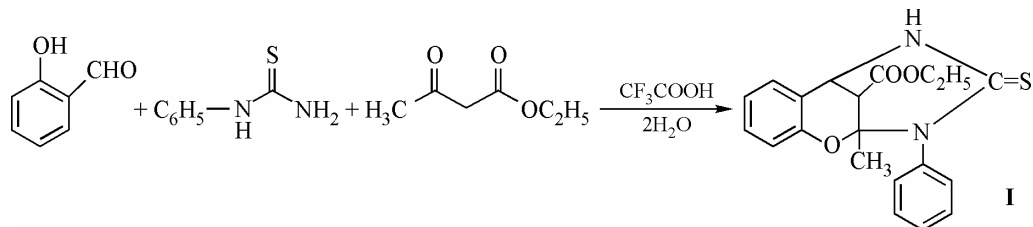
Ключевые слова: рентгеноструктурный анализ, кристаллическая структура, этил 9-метил-10-фенил-11-тиоксо-8-окса-10,12-диазатрицикло[7.3.1.0^{2,7}]тридека-2(7),3,5-триен-13-карбоксилат, N1-фенилтиокарбамид.

Как известно из литературы, самый простой и удобный синтез 3,4-дигидропиrimидин-2(1Н)-тионов основывается на трехкомпонентной конденсации в кислой среде альдегидов, метиленактивных соединений и тиокарбомидов [1—4] по реакции Биджинелли.

Основываясь на факте, что дигидропиrimидинтионы имеют широкую фармакологическую [5] активность, их оптимальный синтез всегда в центре внимания исследователей. Принимая во внимание высказывание, был синтезирован N1-фенилтиокарбамид, как исходный продукт, взаимодействием роданида аммония с анилином без растворителя.



С целью изучения влияния гидроксильной группы в 4-арильтом радикале на структурные параметры биологически активных дигидропиrimидинтионов нами были исследованы одностадийные трехкомпонентные реакции N-фенилтиокарбамида, ацетоуксусного эфира с салициловым альдегидом в присутствии трифтоторуксусной кислоты. Исследования в этом направлении привели к неожиданным результатам. Продуктом трехкомпонентной реакции стал этил



* E-mail: e.garipov@mail.ru; vkh@xray.ineos.ac.ru

9-метил-10-фенил-11-тиоксо-8-окса-10,12-диазатрицикло[7.3.1.0^{2,7}]тридека-2(7),3,5-триен-13-карбоксилат **I** с выходом 65 %.

В настоящей работе нами проведен рентгеноструктурный анализ соединения **I**.

Экспериментальная часть. Кристаллы для РСА получены двукратной кристаллизацией соединения **I** из этанола. Рентгеноструктурное исследование соединения **I** проведено на дифрактометре Bruker APEX II CCD ($T = 296$ K, $\lambda\text{Mo}K_{\alpha}$ -излучение, графитовый монохроматор, φ - и ω -сканирование, $2\theta_{\max} = 46^\circ$).

Кристаллы соединения **I** ($C_{20}H_{20}N_2O_3S$, $M_r = 368,44$) бесцветные, $T_{\text{пл}} = 232$ °C, призматического габитуса, размером $0,20 \times 0,10 \times 0,10$ мм, моноклинные: $a = 12,627(2)$, $b = 13,649(2)$, $c = 21,574(3)$ Å, $\beta = 96,498(3)^\circ$, $V = 3694,1(10)$ Å³, пространственная группа $P2_1/c$, $Z = 8$, $d_x = 1,325$ г/см³, $\mu = 0,197$ мм⁻¹. Измерены интенсивности 24457 отражений (4985 независимых отражений, $R_{\text{int}} = 0,095$), для которых введена полуэмпирическая поправка на поглощение с помощью программы SADABS [11].

Структура соединения **I** расшифрована прямым методом и уточнена методом наименьших квадратов в анизотропном приближении для неводородных атомов. Атомы водорода амино-групп выявлены объективно в разностных синтезах Фурье и включены в уточнение с фиксированными позиционными и тепловыми ($U_{\text{изо}}(\text{H}) = 1,2U_{\text{экв}}(\text{N})$) параметрами. Координаты остальных атомов водорода рассчитаны из геометрических соображений и уточнены с фиксированными позиционными (модель "наездника") и тепловыми ($U_{\text{экв}}(\text{H}) = 1,5U_{\text{экв}}(\text{C})$ для групп CH₃ и $U_{\text{экв}}(\text{H}) = 1,2U_{\text{экв}}(\text{C})$ для всех остальных групп) параметрами. Окончательные значения факторов расходности равны $R_1 = 0,051$ для 2748 независимых отражений с $I > 2\sigma(I)$ и $wR_2 = 0,093$ для всех независимых отражений. Все расчеты проведены с помощью комплекса программ SHELLXTL [12].

Структура **I** депонирована в Кембриджском банке структурных данных (номер депонирования CCDC 768016).

Обсуждение результатов. Строение и кристаллическая упаковка соединения **I** показаны на рис. 1 и 2, избранные значения длин связей и валентных углов приведены в табл. 1. Кристалл соединения **I** содержит две кристаллографически независимые молекулы, различающиеся только конформацией карбоксилатного заместителя относительно центрального бициклического фрагмента (торсионные углы (Me)C—C—C=O в этих молекулах равны $-22,8(6)$ и $162,8(3)^\circ$, см. рис. 1).

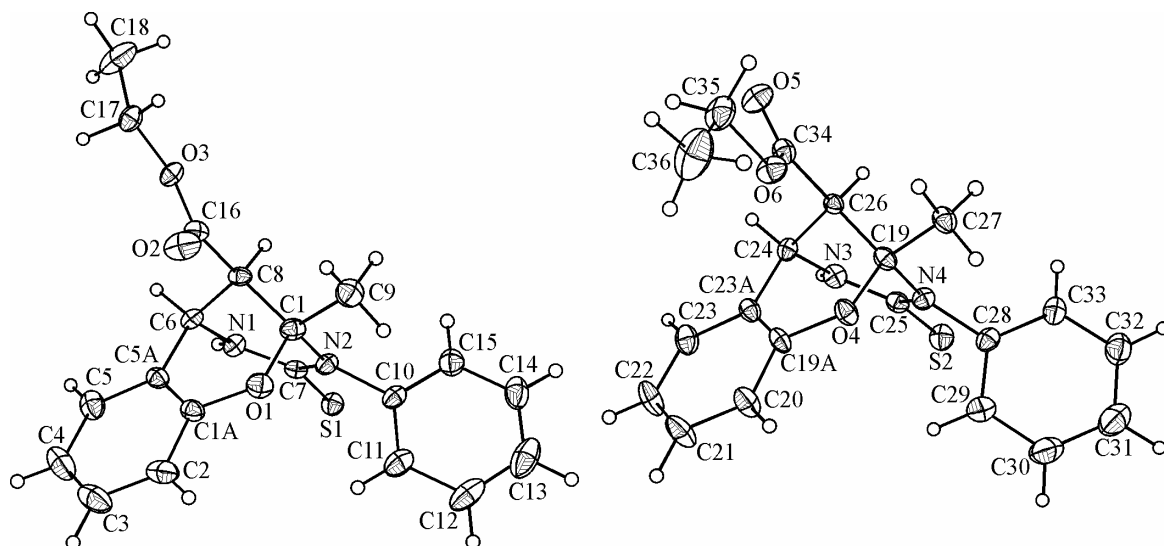


Рис. 1. Молекулярная структура соединения **I**. Представлены две кристаллографически независимые молекулы

Рис. 2. Упаковка молекул **1** в кристалле вдоль оси **b**. Водородные связи показаны штриховыми линиями

Молекула **I** содержит жесткую трициклическую систему, состоящую из сочлененных гексагидропиримидинового, дигидропиранового и бензольного циклов (см. рис. 1). Гексагидропиримидиновый и дигидропирановый циклы в бициклическом фрагменте принимают конформации несимметричных полукресел (отклонения атомов C(6)/C(24), C(8)/C(26) и C(1)/C(19), C(8)/C(26) в двух кристаллографически независимых молекулах от средних плоскостей, проведенных через остальные атомы циклов, равны $-0,169/-0,236$, $0,643/0,622$ и $-0,086/-0,157$, $0,649/0,611 \text{ \AA}$ соответственно). При этом бензольный цикл расположен практически перпендикулярно к плоскости гексагидропиримидинового цикла (угол между соответствующими плоскостями равен $76,9$ и $78,5^\circ$ для двух кристаллографически независимых молекул). Атомы азота гексагидропиримидинового цикла имеют плоскотригональную конфигурацию (суммы валентных углов при атомах N(1), N(2), N(3) и N(4) двух кристаллографически независимых молекул равны $360,1$, $359,8$, $360,0$ и $359,8^\circ$ соответственно). Подобную конформацию центрального трициклического фрагмента также наблюдали в изученных ранее родственных соединениях [6—9]. Карбоксилатный заместитель плоский с *транс*-конфигурацией связей C—C и O—C (торсионный угол C—C—O—C равен $172,9(3)$ и $167,6(3)^\circ$ в двух кристаллографически независимых молекулах) и зани-

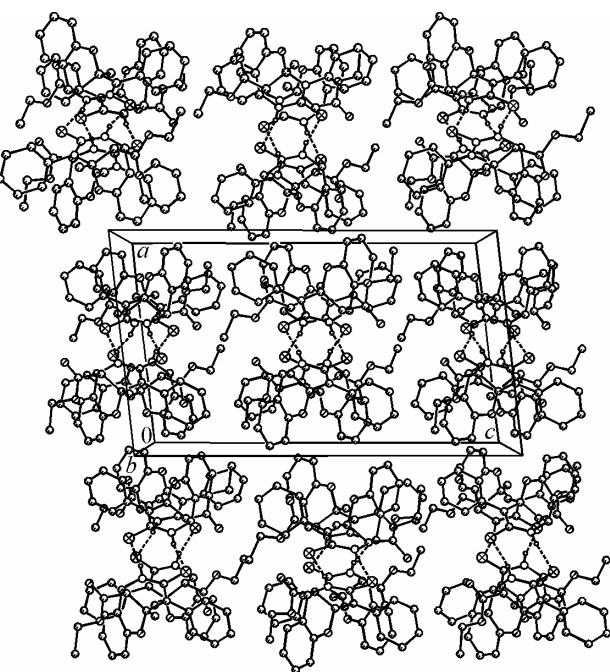


Таблица 1

Избранные значения длин связей (d , Å) и валентных углов (ω , град.) в структуре **I**

Связь	d	Связь	d	Связь	d	Связь	d
S(1)—C(7)	1,685(4)	N(2)—C(7)	1,358(4)	S(2)—C(25)	1,677(4)	N(4)—C(25)	1,371(4)
O(1)—C(1A)	1,372(4)	N(2)—C(1)	1,500(4)	O(4)—C(19A)	1,372(4)	N(4)—C(19)	1,489(4)
O(1)—C(1)	1,434(4)	C(1)—C(8)	1,510(5)	O(4)—C(19)	1,420(4)	C(19)—C(26)	1,519(5)
N(1)—C(7)	1,337(4)	C(5A)—C(6)	1,492(5)	N(3)—C(25)	1,335(4)	C(23A)—C(24)	1,505(4)
N(1)—C(6)	1,470(4)	C(6)—C(8)	1,519(4)	N(3)—C(24)	1,456(4)	C(24)—C(26)	1,525(4)
Угол	ω	Угол	ω	Угол	ω	Угол	ω
C(1A)—O(1)—C(1)	118,1(3)	N(1)—C(6)—C(8)	106,2(3)	O(4)—C(19)—C(26)	112,4(3)		
C(7)—N(1)—C(6)	122,6(3)	C(5A)—C(6)—C(8)	109,8(3)	N(4)—C(19)—C(26)	107,9(3)		
C(7)—N(2)—C(1)	123,4(3)	N(1)—C(7)—N(2)	118,2(3)	O(4)—C(19A)—C(23A)	122,7(3)		
O(1)—C(1)—N(2)	108,1(3)	C(1)—C(8)—C(6)	106,8(3)	C(19A)—C(23A)—C(24)	120,2(3)		
O(1)—C(1)—C(8)	112,3(3)	C(19A)—O(4)—C(19)	117,1(3)	N(3)—C(24)—C(23A)	112,1(3)		
N(2)—C(1)—C(8)	107,5(3)	C(25)—N(3)—C(24)	122,5(3)	N(3)—C(24)—C(26)	105,5(3)		
O(1)—C(1A)—C(5A)	122,5(3)	C(25)—N(4)—C(19)	123,5(3)	C(23A)—C(24)—C(26)	109,4(3)		
C(1A)—C(5A)—C(6)	119,6(4)	O(4)—C(19)—N(4)	108,7(3)	N(3)—C(25)—N(4)	117,7(3)		
N(1)—C(6)—C(5A)	111,3(3)			C(19)—C(26)—C(24)	106,1(3)		

Таблица 2

Параметры водородных связей (Å и град.) в структуре I

Тип Н-связи	D*—H	H...A*	D...A	∠(D—H...A)
N(1)—H(1N)...S(1) [-x+1, -y+1, -z+1]	0,91	2,61	3,496(4)	166
N(3)—H(3N)...S(2) [-x+1, -y, -z+1]	0,91	2,44	3,345(4)	170

* D — протонодонор; A — протоноакцептор.

мает экваториальное положение по отношению к гексагидропиримидиновому циклу и аксиальное положение по отношению к дигидропирановому циклу. Терминальный фенильный заместитель повернут на угол 78,8 и 81,6° в двух кристаллографически независимых молекулах по отношению к плоскому фрагменту гексагидропиримидинового цикла.

Как можно видеть из табл. 1, связи тиомочевинного фрагмента молекулы I находятся в сопряжении — значения длин связей N(1)—C(7), C(7)—N(2) и N(3)—C(25), C(25)—N(4) уменьшены, а связей C(7)=S(1) и C(25)=S(2) увеличены по сравнению со среднестатистическими значениями длин ординарных C—N и двойных C=S связей соответственно [10]. При этом значения эндо-циклических валентных углов в гексапиримидиновом цикле при атомах азота меньше идеального значения 120° в случае sp^2 -гибридизованных атомов, а при атомах углерода больше идеального значения 109,5° в случае sp^3 -гибридизованных атомов (см. табл. 1). Кроме того, по-видимому, значения эндо-циклических валентных углов в гексапиримидиновом цикле оказывают влияние на распределение эндо-циклических валентных углов в дигидропирановом цикле через геометрию смежного мостикового фрагмента C—C—C. Таким образом, значения эндо-циклических валентных углов в дигидропирановом цикле при атоме кислорода меньше идеального значения 120°, а при атомах углерода, связанных с атомом кислорода, больше идеальных значений 120 и 109,5° для sp^2 - и sp^3 -гибридизованных атомов соответственно (см. табл. 1).

Соединение I является диастереомером с тремя асимметрическими центрами при атомах углерода C(1)/C(19), C(6)/C(24) и C(8)/C(26). Кристалл изученного соединения представляет рацемат с относительной конфигурацией хиральных атомов — *rac*-1/19*R**,6/24*R**,8/26*R**

В кристалле энантиомеры образуют центросимметричные димеры посредством межмолекулярных водородных связей N—H...S (см. рис. 2, табл. 2). Димеры упаковываются в стопки вдоль оси *b* (см. рис. 2).

СПИСОК ЛИТЕРАТУРЫ

1. Kotharkar S.A., Nagawade R.R., Shinde D.B. // Ukr. Bioorgan. Acta. – 2006. – **2**. – P. 17 – 21.
2. Lu J., Bai Y., Wang Z. et al. // Tetrahedron Lett. – 2000. – **41**. – P. 9075.
3. Srinivas K.V., Das B. // Synthesis. – 2004. – **13**. – P. 2091.
4. Salehi P., Davizi M., Zolfogol A.M., Fard M.A. // Tetrahedron Lett. – 2003. – **44**. – P. 2889.
5. Dalinger D., Stadler A., Kappe C.O. // Pure Appl. Chem. – 2004. – **76**, N 5. – P. 1017.
6. Kettmann V., Svetlik J. // Acta Crystallogr. – 1996. – **C52**. – P. 1496 – 1499.
7. Kettmann V., Svetlik J. // Acta Crystallogr. – 1997. – **C53**. – P. 1493 – 1495.
8. Fu N.-Y., Yuan Y.-F., Cao Z. et al. // Tetrahedron. – 2002. – **58**. – P. 4801 – 4807.
9. Konovalova I.S., Zaremba O.V., Kovalenko S.S. et al. // Acta Crystallogr. – 2007. – **E63**. – P. o4906.
10. International Tables for Crystallography / Ed. E. Prince. 2006. Vol. C. Chapter 9.5. – P. 790 – 811.
11. Sheldrick G.M. SADABS, v. 2.03, Bruker AXS, Madison, Wisconsin, USA, 2003.
12. Sheldrick G.M. A short history of SHELX // Acta Crystallogr. – 2008. – **A64**. – P. 112 – 122.